




EKO-CONNECT
LABORATORIUM BADAWCZE Pól ELEKTROMAGNETYCZNYCH

EKO-Connect Sp. z o.o.
60-591 POZNAŃ, ul. MIODOWA 14A
Tel. 790 200 181
Tel. 790 004 761
e-mail: laboratorium@eko-connect.pl



SPRAWOZDANIE NR OS/0707/24 Z POMIARÓW NATĘŻENIA Pól ELEKTROMAGNETYCZNYCH WYKONANYCH DLA CELÓW OCHRONY ŚRODOWISKA

Miejsce wykonania badania:	BT11304_DĘBLIN	
	08-521 Dęblin ul. 2 Pułku Kraków 5, woj. LUBELSKIE	
Współrzędne geograficzne:	51°33'19.0"N 21°51'50.0"E	
Data wykonania pomiarów:	12.07.2024	
Data wydania sprawozdania:	16.07.2024	
Zleceniodawca:	TOWERLINK POLAND Sp. z o.o. ul. Marcina Kasprzaka 4 01-211 Warszawa	
Sprawozdanie wykonał:	Sprawdził:	Autoryzował: Signed by / Podpisano przez:
		

1. INFORMACJE O UŻYTKOWNIKU ¹

- Zleceniodawca: TOWERLINK POLAND Sp. z o. o. ul. Marcina Kasprzaka 4
- Typ obiekt: Instalacja radiokomunikacyjna zainstalowana na dachu budynku
- Numer obiektu: BT11304_DĘBLIN
- Adres obiektu: 08-521 Dęblin ul. 2 Pułku Kraków 5, woj. LUBELSKIE
- Współrzędne geograficzne: 51°33'19.0"N 21°51'50.0"E

2. CHARAKTERYSTYKA ŹRÓDEŁ PEM ¹

Tabela 1. Parametry systemu nadawczo-odbiorczego

Charakterystyka promieniowania					kierunkowa					
Rzeczywisty czas pracy [h/dobę]					24					
Warunki pracy					znamionowe					
Nr anteny	Model anteny	Producent anteny	Szerokość geograficzna	Długość geograficzna	Wysokość środka elektrycznego anteny [m n.p.t.]	Azymut elektryczny [°]	Częstotliwość lub zakresy częstotliwości pracy [MHz]	Minimalne pochylenie [°]	Maksymalne pochylenie [°]	EIRP dla pasma [W]
1	RVV-65B-R3VB	Commscope	51.555278	21.863889	39,40	0	2100	2	6	3184
1	RVV-65B-R3VB	Commscope	51.555278	21.863889	39,40	0	900	2	10	4435
2	AMB4519R3V06	Huawei	51.555278	21.863889	39,40	90	900	2	12	3861
2	AMB4519R3V06	Huawei	51.555278	21.863889	39,40	150	900	2	12	4551
3	RVV-65B-R3VB	Commscope	51.555278	21.863889	39,40	240	2100	2	6	3184
3	RVV-65B-R3VB	Commscope	51.555278	21.863889	39,40	240	900	2	10	4435
4	AMB4519R6V06	Huawei	51.555278	21.863889	35,00	30	1800	2	12	3224
4	AMB4519R6V06	Huawei	51.555278	21.863889	35,00	30	2600	2	12	5145
4	AMB4519R6V06	Huawei	51.555278	21.863889	35,00	330	1800	2	12	3224
4	AMB4519R6V06	Huawei	51.555278	21.863889	35,00	330	2600	2	12	5145
5	AMB4519R6V06	Huawei	51.555278	21.863889	35,00	90	1800	2	12	3224
5	AMB4519R6V06	Huawei	51.555278	21.863889	35,00	90	2600	2	12	5145
5	AMB4519R6V06	Huawei	51.555278	21.863889	35,00	150	1800	2	12	3224
5	AMB4519R6V06	Huawei	51.555278	21.863889	35,00	150	2600	2	12	5145
6	AMB4519R6V06	Huawei	51.555278	21.863889	35,00	210	1800	2	12	3224
6	AMB4519R6V06	Huawei	51.555278	21.863889	35,00	210	2600	2	12	5145
6	AMB4519R6V06	Huawei	51.555278	21.863889	35,00	270	1800	2	12	3224
6	AMB4519R6V06	Huawei	51.555278	21.863889	35,00	270	2600	2	12	5145
7	ADU4521R0V06	Huawei	51.555278	21.863889	39,50	0	2600	0	6	18085
8	ADU4521R0V06	Huawei	51.555278	21.863889	39,50	120	2600	0	6	18085
9	ADU4521R0V06	Huawei	51.555278	21.863889	39,50	240	2600	0	6	18085

¹ Dane pozyskane od Klienta

Charakterystyka promieniowania					kierunkowa					
Rzeczywisty czas pracy [h/dobę]					24					
Warunki pracy					znamionowe					
Nr anteny	Model anteny	Producent anteny	Szerokość geograficzna	Długość geograficzna	Wysokość środka elektrycznego anteny [m n.p.t.]	Azymut elektryczny [°]	Częstotliwość lub zakresy częstotliwości pracy [MHz]	Minimalne pochYLENIE [°]	Maksymalne pochYLENIE [°]	EIRP dla pasma [W]
10	ADU4521R0V06	Huawei	51.555278	21.863889	39,50	120	2100	0	6	5793

Tabela 2. Parametry radiolinii

Charakterystyka promieniowania					kierunkowa						
Rzeczywisty czas pracy [h/dobę]					24						
Warunki pracy					znamionowe						
L.p.	Typ anteny	Producent anteny	Szerokość geograficzna	Długość geograficzna	Wysokość środka elektrycznego anteny [m n.p.t.]	Azymut [°]	Częstotliwość Pracy [GHz]	Moc wyjściowa nadajnika [dBm]	Zysk Energetyczny anteny [dBi]	Średnica [m]	EIRP dla anteny [W]
1	A80S03MAC-3NX	Huawei	51.555278	21.863889	35,20	23	80	10	46	0,3	398
2	A80S03MAC-3NX	Huawei	51.555278	21.863889	35,20	290	80	10	46	0,3	398

Inne źródła PEM: W obszarze pomiarowym badanego obiektu występują inne źródła promieniowania pola elektromagnetycznego, które w zakresie badanych częstotliwości bezpośrednio wpływają na wynik wartości mierzonej natężenia pola.

3. OPIS POMIARÓW

Cel badań: Sprawdzenie dotrzymania dopuszczalnych poziomów pól elektromagnetycznych, w otoczeniu instalacji wytwarzających takie pola.

3.1. Data oraz warunki pomiarów

Data pomiarów	Godzina		Opady	Temperatura [C]		Wilgotność [%]	
	rozpoczęcia pomiarów	zakończenia pomiarów		Minimalna	Maksymalna	Minimalna	Maksymalna
12.07.2024	08:30	10:00	Brak	22,8	24,7	69,5	71,0

3.2. Aparatura pomiarowa:

Tabela 3. Opis zestawu pomiarowego

Nazwa	Typ/model	Numer fabryczny/SN	Świadectwo wzorcowania	Zastosowanie
Szerokopasmowy miernik natężenia pola elektromagnetycznego	NBM- 520	D-2228	LWIMP/W/157/24 z dnia 16.05.2024 (Laboratorium Wzorców i Metrologii Pola Elektromagnetycznego Instytutu Telekomunikacji, Teleinformatyki i Akustyki Politechniki Wrocławskiej)	Pomiary pola elektromagnetycznego
Sonda pomiarowa pola elektrycznego	EF-9091	A-0139		
Szerokopasmowy miernik natężenia pola elektromagnetycznego	NBM- 520	D-2187	LWIMP/W/381/22 z dnia 28.11.2022 (Laboratorium Wzorców i Metrologii Pola Elektromagnetycznego Instytutu Telekomunikacji, Teleinformatyki i Akustyki Politechniki Wrocławskiej)	
Sonda pomiarowa pola elektrycznego	EF-0691	J-0201		
Termohigrometr	Termioplus - S	SN 120823	586/2024 z dnia 01.03.2024 (Instytut Energetyki - Państwowy Instytut Badawczy)	Pomiary wilgotności względnej powietrza Pomiary temperatury powietrza
Odbiornik GPS	Garmin GLO2	1792A-A1156/5PS066633	-	Pomiar współrzędnych geograficznych

3.3. Wyznaczenie niepewności pomiarów:

Ocenę niepewności przyjmuje się zgodnie z procedurą stosowaną w laboratorium.

Wyznaczona rozszerzona niepewność pomiaru dla współczynnika rozszerzenia $k = 2$ dla zestawu pomiarowego z pkt.3.2 w dniu pomiaru wynosi 33,09%.

3.4. Kryteria przedstawiania stwierdzeń zgodności

Niniejsze sprawozdanie zgodnie z zasadami systemu akredytacji zawiera stwierdzenia zgodności.

W przypadku badań poziomów pola elektromagnetycznego w środowisku stwierdzenie zgodności dotyczy rozstrzygnięcia, czy zmierzona wartość opisująca pole elektromagnetyczne przekracza wartość dopuszczalną dla zakresu częstotliwości, w którym pracują źródła podaną w Rozporządzeniu Ministra Zdrowia z dnia 17 grudnia 2019 r. w sprawie dopuszczalnych poziomów pól elektromagnetycznych w środowisku (Dz. U. z 2019 r. poz. 2448).

3.5. Metodyka wykonania pomiarów:

Zastosowano metodę znormalizowaną w oparciu o Rozporządzenie Ministra Klimatu i Środowiska z dnia 6 maja 2022 r. zmieniające rozporządzenie w sprawie sposobów sprawdzania dotrzymania dopuszczalnych poziomów pól elektromagnetycznych w środowisku (Dz.U. 2022 poz. 1121).

3.6. Przepisy prawne:

- Ustawa z dnia 27 kwietnia 2001 r. Prawo ochrony środowiska (Dz.U. 2024 r. poz. 54).
- Rozporządzenie Ministra Zdrowia z dnia 17 grudnia 2019 r. w sprawie dopuszczalnych poziomów pól elektromagnetycznych w środowisku (Dz. U. z 2019 r. poz. 2448).
- Rozporządzenie Ministra Klimatu z dnia 17 lutego 2020 r. w sprawie sposobów sprawdzania dotrzymania dopuszczalnych poziomów pól elektromagnetycznych w środowisku Załącznik do obwieszczenia Ministra Klimatu i Środowiska z dnia 21 listopada 2022 r. (Dz. U. poz. 2630).

3.7. Opis pomiarów

Stacja bazowa BT11304_DĘBLIN usytuowana jest na dachu budynku zlokalizowanego pod adresem 08-521 Dęblin ul. 2 Pułku Kraków 5, woj. LUBELSKIE. Anteny i moduły RRU zamontowane są na antenowych konstrukcjach wsporczych a urządzenia są w szafie APM zainstalowanej na dachu. W otoczeniu stacji zlokalizowana jest zabudowa jednorodzinna oraz użyteczności publicznej. Analiza parametrów technicznych wykazała, że urządzenia nadawcze stacji pracują w paśmie częstotliwości zgodnie z tabelą 1 oraz tabelą 2. Moc wyjściowa nadajników doprowadzona jest do anten przy pomocy ekranowanych fiderów.

Pomiary w otoczeniu stacji bazowej wykonano wzdłuż kierunków maksymalnego zasięgu oddziaływania pola elektromagnetycznego na kierunkach osi głównych wiązek anten sektorowych do odległości określonej zgodnie z wytycznymi zawartymi w instrukcji wykonywania pomiarów, podczas rzeczywistej pracy urządzeń wytwarzających pola elektromagnetyczne.

Pomiary wykonano dla średniego pochylecia wiązki liczonego jako średnia arytmetyczna z minimalnej i maksymalnej wartości stosowanego lub planowanego kąta pochylecia. Średnie wartości tilt ustawiane są przez Klienta. W przypadku, gdy na danym azymucie zainstalowano kilka anten, średnia wartości tilt ustawiona jest jednakowa dla wszystkich anten. Przyjmuje się najgorszą wartość spośród anten zainstalowanych na danym kierunku.

Pomiary w przyjętych pionach pomiarowych wykonano w punktach położonych na wysokościach od 0,3 m do 2,0 m nad powierzchnią ziemi lub nad innymi powierzchniami, na których mogą przebywać ludzie, przyjmując za wynik pomiaru maksymalny poziom natężenie pól elektromagnetycznego.

Pomiary wykonano w dodatkowych pionach pomiarowych w lokalach oraz na balkonach i tarasach, na których mogą przebywać ludzie, po poinformowaniu o planowanych pomiarach z minimum 3-dniowym wyprzedzeniem i po umożliwieniu dostępu do lokalu, balkonu lub tarasu przez jego dysponenta lub bez zachowania terminu wskazanego w pierwszej części zdania za zgodą dysponenta przestrzeni pomiarowej.

Punkty pomiarowe wewnątrz budynków oraz na tarasach/balkonach wyznaczono na podstawie przeprowadzonych obliczeń rozkładu pola elektromagnetycznego. Jako wartość graniczną do wyznaczenia odległości zasięgu pola elektromagnetycznego przyjęto wartość 9 V/m. Jest to wartość wypadkowa po uwzględnieniu współczynników odpowiadającym emisji z obcych źródeł promieniowania elektromagnetycznego oraz efekt odbicia fal radiowych. Obliczenia te wykonywane są uwzględniając parametry systemu antenowego dostarczone przez Klienta. W tym obszarze pomiary w budynkach wykonywane są obligatoryjnie. Jeżeli w ww. obszarze nie zlokalizowano żadnych budynków dodatkowo wyznaczono reprezentatywne budynki, wewnątrz których wykonano dodatkowe pomocnicze punkty pomiarowe.

Przy doborze pionów pomiarowych uwzględniono charakter i sposób zagospodarowania terenu otaczającego stację bazową.

3.8. Sposób identyfikacji widma częstotliwości:

Parametry stacji bazowej uzyskane od właściciela instalacji stacji bazowej.

4. WYNIKI POMIARÓW

Wyniki pomiarów ważne są jedynie dla danej konfiguracji urządzeń w dniu, w którym wykonano pomiary.

Wynik pomiaru, to maksymalna wartości chwilowa zmierzona w danym pionie pomiarowym powiększona o rozszerzoną niepewność pomiaru U dla współczynnika rozszerzenia $k = 2$ (dla poziomu ufności 95%).

Tabela 4. Dopuszczalne poziomy pól elektromagnetycznych

Parametr fizyczny	Składowa elektryczna	Składowa magnetyczna
Zakres częstotliwości pola elektromagnetycznego		
od 400 MHz do 2000 MHz	$1,375 \times f^{0,5}$ V/m	$0,00375 \times f^{0,5}$ A/m
Od 2 GHz do 300 GHz	61 V/m	0,16 A/m

Do wyznaczania wartości wskaźnikowych WM_E i WM_H przyjęto najniższe wartości dopuszczalne poziomów pól elektromagnetycznych w/w zakresów częstotliwości.

Tabela 5. Wyniki pomiarów

Nr pionu	Opis miejsca pomiaru	Pomiar wewnątrz pomieszczenia	Współrzędne geograficzne		Wynik poniżej progu detekcji	E_p [V/m]	U [V/m]	$E_p + U$ [V/m]	H [A/m]	WM_E	WM_H	Przekroczenie wartości dopuszczalnej
			[°] E	[°] N								
1	W budynku, Dom Studencki, klatka schodowa przy otwartym oknie, piętro 10, ul. Lotników Polskich - pomocniczy pion pomiarowy	TAK	21,863973079	51,555482617	NIE	1,42	0,31	1,73	0,005	0,06	0,062	nie przekracza
2	W budynku, Dom Studencki, klatka schodowa przy otwartym oknie, piętro 8, ul. Lotników Polskich - pomocniczy pion pomiarowy	TAK	21,863973079	51,555482617	NIE	1,22	0,27	1,49	0,004	0,05	0,053	nie przekracza
3	W budynku, Lotnicza Akademia Wojskowa, korytarz przy otwartym oknie, piętro 3, ul. 2 Pułku "Kraków" - pomocniczy pion pomiarowy	TAK	21,865819902	51,555215357	NIE	2,27	0,49	2,76	0,007	0,10	0,099	nie przekracza
4	Poziom gruntu - Główny kierunek pomiarowy anteny sektorowej azymut 0st	NIE	21,863870245	51,556440505	NIE	0,89	0,20	1,09	0,003	0,04	0,039	nie przekracza
5	Poziom gruntu - Główny kierunek pomiarowy anteny sektorowej azymut 0st	NIE	21,863850717	51,557342351	NIE	1,91	0,41	2,32	0,006	0,08	0,083	nie przekracza
6	Poziom gruntu - Główny kierunek pomiarowy anteny sektorowej azymut 0st	NIE	21,863878709	51,558486666	NIE	1,64	0,36	2,00	0,005	0,07	0,072	nie przekracza

Nr pomiaru	Opis miejsca pomiaru	Pomiar wewnątrz pomieszczenia	Współrzędne geograficzne		Wynik poniżej progu detekcji	E_{Σ} [V/m]	U [V/m]	$E_{\Sigma} + U$ [V/m]	H [A/m]	WME	WMH	Przekroczenie wartości dopuszczalnej
			[°] E	[°] N								
7	Poziom gruntu - Główny kierunek pomiarowy anteny sektorowej azymut 0st	NIE	21,863903284	51,559282415	NIE	2,09	0,45	2,54	0,007	0,09	0,091	nie przekracza
8	Poziom gruntu - Główny kierunek pomiarowy anteny sektorowej azymut 30st	NIE	21,864212812	51,555623414	NIE	1,30	0,28	1,58	0,004	0,06	0,057	nie przekracza
9	Poziom gruntu - Główny kierunek pomiarowy anteny sektorowej azymut 30st	NIE	21,864600889	51,556045552	NIE	1,39	0,30	1,69	0,004	0,06	0,061	nie przekracza
10	Poziom gruntu - Główny kierunek pomiarowy anteny sektorowej azymut 30st	NIE	21,864608285	51,556276015	NIE	1,45	0,32	1,77	0,005	0,06	0,063	nie przekracza
11	Poziom gruntu - Główny kierunek pomiarowy anteny radioliniowej azymut 23st	NIE	21,864183033	51,555699575	NIE	1,23	0,27	1,50	0,004	0,05	0,054	nie przekracza
12	Poziom gruntu - Główny kierunek pomiarowy anteny radioliniowej azymut 23st	NIE	21,864363718	51,555966224	NIE	1,30	0,28	1,58	0,004	0,06	0,057	nie przekracza
13	Poziom gruntu - Główny kierunek pomiarowy anteny sektorowej azymut 90st	NIE	21,864402132	51,555268862	NIE	1,30	0,28	1,58	0,004	0,06	0,057	nie przekracza
14	Poziom gruntu - Główny kierunek pomiarowy anteny sektorowej azymut 90st	NIE	21,864967602	51,555272704	NIE	1,40	0,31	1,71	0,005	0,06	0,061	nie przekracza
15	Poziom gruntu - Główny kierunek pomiarowy anteny sektorowej azymut 90st	NIE	21,865508510	51,555266903	NIE	1,49	0,32	1,81	0,005	0,06	0,065	nie przekracza
16	Poziom gruntu - Główny kierunek pomiarowy anteny sektorowej azymut 120st	NIE	21,864365188	51,555098283	NIE	1,28	0,28	1,56	0,004	0,06	0,056	nie przekracza
17	Poziom gruntu - Główny kierunek pomiarowy anteny sektorowej azymut 120st	NIE	21,864965847	51,554904266	NIE	1,39	0,30	1,69	0,004	0,06	0,061	nie przekracza
18	Poziom gruntu - Główny kierunek pomiarowy anteny sektorowej azymut 120st	NIE	21,865366555	51,554762198	NIE	1,55	0,34	1,89	0,005	0,07	0,068	nie przekracza
19	Poziom gruntu - Główny kierunek pomiarowy anteny sektorowej azymut 120st	NIE	21,865985851	51,554532732	NIE	1,30	0,28	1,58	0,004	0,06	0,057	nie przekracza
20	Poziom gruntu - Główny kierunek pomiarowy anteny sektorowej azymut 120st	NIE	21,866382003	51,554378185	NIE	1,37	0,30	1,67	0,004	0,06	0,060	nie przekracza

Nr pionu	Opis miejsca pomiaru	Pomiar wewnątrz pomieszczenia	Współrzędne geograficzne		Wynik poniżej progu detekcji	E_p [V/m]	U [V/m]	$E_p + U$ [V/m]	H [A/m]	WMe	WMH	Przekroczenie wartości dopuszczalnej
			[°] E	[°] N								
21	Poziom gruntu - Główny kierunek pomiarowy anteny sektorowej azymut 120st	NIE	21,867096802	51,554122057	NIE	1,45	0,32	1,77	0,005	0,06	0,063	nie przekracza
22	Poziom gruntu - Główny kierunek pomiarowy anteny sektorowej azymut 120st	NIE	21,867467085	51,553994968	NIE	1,45	0,32	1,77	0,005	0,06	0,063	nie przekracza
23	Poziom gruntu - Główny kierunek pomiarowy anteny sektorowej azymut 120st	NIE	21,868620228	51,553574187	NIE	1,69	0,37	2,06	0,005	0,07	0,074	nie przekracza
24	Poziom gruntu - Główny kierunek pomiarowy anteny sektorowej azymut 120st	NIE	21,869413601	51,553289462	NIE	1,32	0,29	1,61	0,004	0,06	0,058	nie przekracza
25	Poziom gruntu - Główny kierunek pomiarowy anteny sektorowej azymut 120st	NIE	21,870188976	51,553011535	NIE	1,37	0,30	1,67	0,004	0,06	0,060	nie przekracza
26	Poziom gruntu - Główny kierunek pomiarowy anteny sektorowej azymut 150st	NIE	21,864995122	51,554083314	NIE	1,35	0,29	1,64	0,004	0,06	0,059	nie przekracza
27	Poziom gruntu - Główny kierunek pomiarowy anteny sektorowej azymut 150st	NIE	21,864618526	51,554481607	NIE	1,50	0,33	1,83	0,005	0,07	0,066	nie przekracza
28	Poziom gruntu - Główny kierunek pomiarowy anteny sektorowej azymut 150st	NIE	21,864339567	51,554801863	NIE	1,61	0,35	1,96	0,005	0,07	0,070	nie przekracza
29	Poziom gruntu - Główny kierunek pomiarowy anteny sektorowej azymut 210st	NIE	21,863609991	51,554988031	NIE	1,40	0,31	1,71	0,005	0,06	0,061	nie przekracza
30	Poziom gruntu - Główny kierunek pomiarowy anteny sektorowej azymut 210st	NIE	21,863271527	51,554631609	NIE	1,48	0,32	1,80	0,005	0,06	0,065	nie przekracza
31	Poziom gruntu - Główny kierunek pomiarowy anteny sektorowej azymut 210st	NIE	21,862931566	51,554239295	NIE	1,69	0,37	2,06	0,005	0,07	0,074	nie przekracza
32	Poziom gruntu - Główny kierunek pomiarowy anteny sektorowej azymut 240st	NIE	21,863273546	51,555063129	NIE	1,35	0,29	1,64	0,004	0,06	0,059	nie przekracza
33	Poziom gruntu - Główny kierunek pomiarowy anteny sektorowej azymut 240st	NIE	21,862819035	51,554896469	NIE	1,56	0,34	1,90	0,005	0,07	0,068	nie przekracza
34	Poziom gruntu - Główny kierunek pomiarowy anteny sektorowej azymut 240st	NIE	21,862240383	51,554688173	NIE	1,69	0,37	2,06	0,005	0,07	0,074	nie przekracza

Nr pionu	Opis miejsca pomiaru	Pomiar wewnątrz pomieszczenia	Współrzędne geograficzne		Wynik poniżej 5000 d detekcji	E_0 [V/m]	U [V/m]	$E_0 + U$ [V/m]	H [A/m]	WME	WMH	Przekroczenie wartości dopuszczalnej
			[°E]	[°N]								
35	Poziom gruntu - Główny kierunek pomiarowy anteny sektorowej azymut 240st	NIE	21,861164140	51,554303408	NIE	1,55	0,34	1,89	0,005	0,07	0,068	nie przekracza
36	Poziom gruntu - Główny kierunek pomiarowy anteny sektorowej azymut 240st	NIE	21,860366797	51,554016325	NIE	2,00	0,43	2,43	0,006	0,09	0,087	nie przekracza
37	Poziom gruntu - Główny kierunek pomiarowy anteny sektorowej azymut 240st	NIE	21,858865481	51,553469361	NIE	1,42	0,31	1,73	0,005	0,06	0,062	nie przekracza
38	Poziom gruntu - Główny kierunek pomiarowy anteny sektorowej azymut 240st	NIE	21,857891323	51,553129323	NIE	1,64	0,36	2,00	0,005	0,07	0,072	nie przekracza
39	Poziom gruntu - Główny kierunek pomiarowy anteny sektorowej azymut 270st	NIE	21,861923449	51,555277761	NIE	1,35	0,29	1,64	0,004	0,06	0,059	nie przekracza
40	Poziom gruntu - Główny kierunek pomiarowy anteny sektorowej azymut 270st	NIE	21,862713892	51,555272861	NIE	1,68	0,37	2,05	0,005	0,07	0,073	nie przekracza
41	Poziom gruntu - Główny kierunek pomiarowy anteny sektorowej azymut 270st	NIE	21,863262834	51,555280491	NIE	1,39	0,30	1,69	0,004	0,06	0,061	nie przekracza
42	Poziom gruntu - Główny kierunek pomiarowy anteny radioliniowej azymut 290st	NIE	21,862620935	51,555573848	NIE	1,29	0,28	1,57	0,004	0,06	0,056	nie przekracza
43	Poziom gruntu - Główny kierunek pomiarowy anteny radioliniowej azymut 290st	NIE	21,863256025	51,555426533	NIE	1,35	0,29	1,64	0,004	0,06	0,059	nie przekracza
44	Poziom gruntu - Główny kierunek pomiarowy anteny sektorowej azymut 330st	NIE	21,863617424	51,55568373	NIE	1,70	0,37	2,07	0,005	0,07	0,074	nie przekracza
45	Poziom gruntu - Główny kierunek pomiarowy anteny sektorowej azymut 330st	NIE	21,8633112	51,55588671	NIE	1,58	0,34	1,92	0,005	0,07	0,069	nie przekracza
46	Poziom gruntu - Główny kierunek pomiarowy anteny sektorowej azymut 330st	NIE	21,86290615	51,55633884	NIE	1,26	0,28	1,54	0,004	0,06	0,055	nie przekracza

Objaśnienia:

$$E_p: E_{poprawne} = E_{wskazane} * C_{d(E)} * C_{f(f)}$$

$E_{wskazane}$ - zmierzona maksymalna wartość chwilowa natężenia pola elektrycznego

$C_{d(E)}$ - charakterystyka dynamiczna sondy – zgodna ze świadectwem wzorcowania

$C_{f(f)}$ - charakterystyka częstotliwościowa sondy – zgodna ze świadectwem wzorcowania

H – wyznaczona wartość natężenia pola magnetycznego z uwzględnieniem współczynnika korekcyjnego oraz rozszerzonej niepewności pomiaru.

WM_E - wartość wskaźnikowa poziomu oddziaływania pól elektromagnetycznych dla miejsc dostępnych dla ludności dla składowej elektrycznej pola.

WM_H - wartość wskaźnikowa poziomu oddziaływania pól elektromagnetycznych dla miejsc dostępnych dla ludności dla składowej magnetycznej pola.

* Wynik poniżej progu detekcji - wartość zmierzona poniżej zakresu akredytacji. Do obliczeń przyjęto wartość zgodną z dolną granicą akredytowanego zakresu pomiarowego metody.

Piony pomiarowe wewnątrz budynków oraz na tarasach/balkonach wyznaczono na podstawie przeprowadzonych obliczeń rozkładu pola elektromagnetycznego zgodnie z wewnętrznymi procedurami laboratorium.

5. WNIOSKI

Stwierdza się, iż na podstawie uzyskanych wyników pomiarów i informacji uzyskanych od operatora, w otoczeniu stacji bazowej telefonii komórkowej BT11304_DĘBLIN w miejscach dostępnych dla ludności, w których dokonano pomiaru, nie zostały przekroczone wartości graniczne poziomów pól elektromagnetycznych określonych w Rozporządzeniu Ministra Zdrowia z dnia 17 grudnia 2019 r. w sprawie dopuszczalnych poziomów pól elektromagnetycznych w środowisku (Dz. U. z 2019 r. poz. 2448).

Stwierdzenie zgodności zostało przedstawione na podstawie wyników badań oraz informacji uzyskanych od Klienta (za które Laboratorium nie ponosi odpowiedzialności) dla instalacji opisanej w punkcie 2. Stwierdzenia zgodności dokonano na podstawie zasady podejmowania decyzji i wymagań zawartych w załączniku do Rozporządzenia Ministra Klimatu z dnia 17 lutego 2020 r. w sprawie sposobów sprawdzania dotrzymania dopuszczalnych poziomów pól elektromagnetycznych w środowisku (Dz.U. 2022 poz. 2630 z 15.12.2022r.).

- Sprawozdanie zawiera 12 stron
- Załączniki: nr 1 – mapa z rozmieszczeniem pionów pomiarowych wokół obiektu
- Otrzymują:
 1. Zleceniodawca: - 1 egz.
 2. a / a: 1 egz.

Bez pisemnego zezwolenia laboratorium Eko-Connect Sp. z o.o. sprawozdanie nie może być powielane inaczej, jak tylko w całości.

KONIEC SPRAWOZDANIA

